

Fig. 1A
PRIOR ART

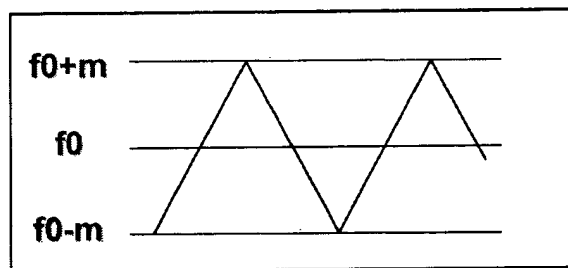


Fig. 1B

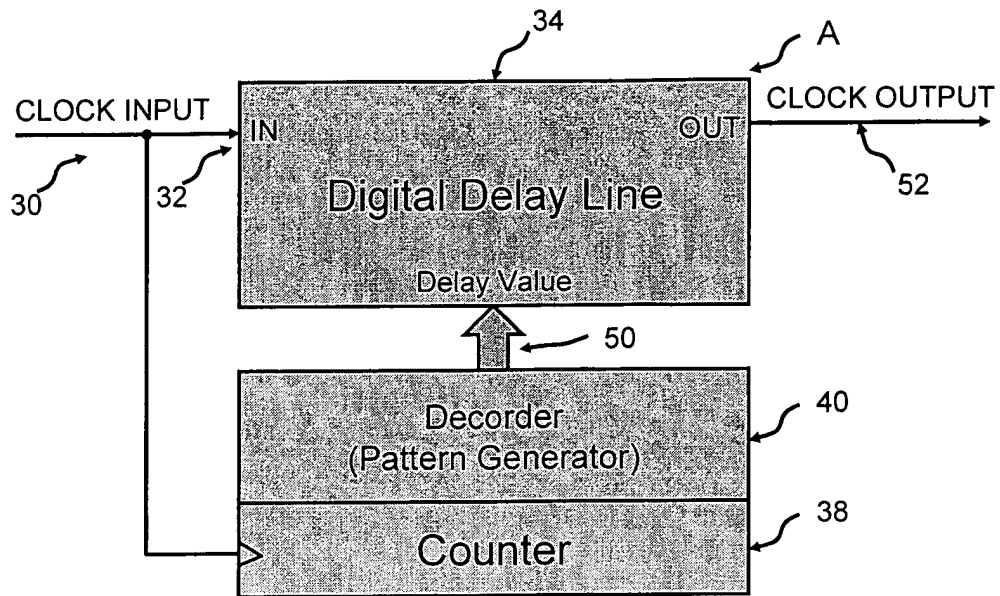


Fig. 2

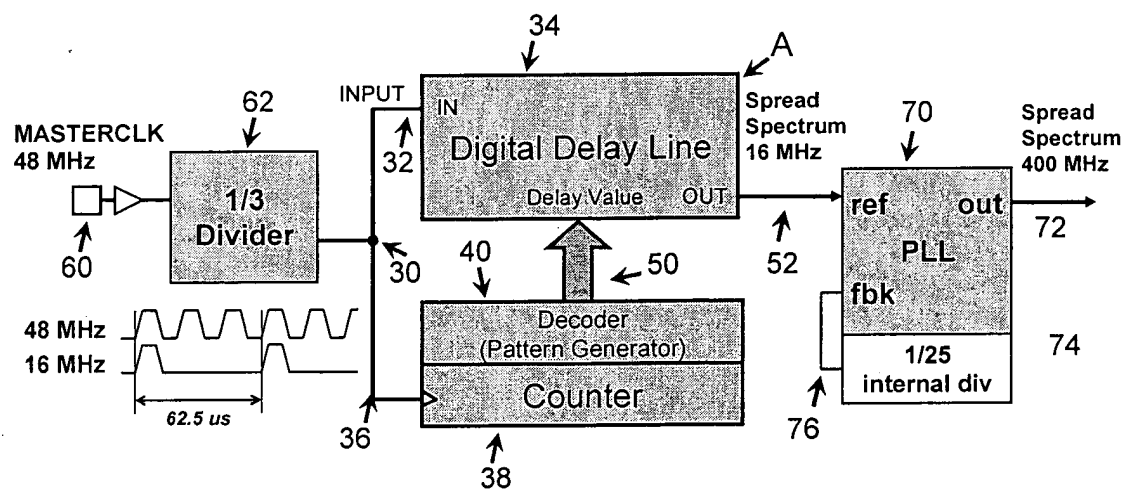


Fig. 3

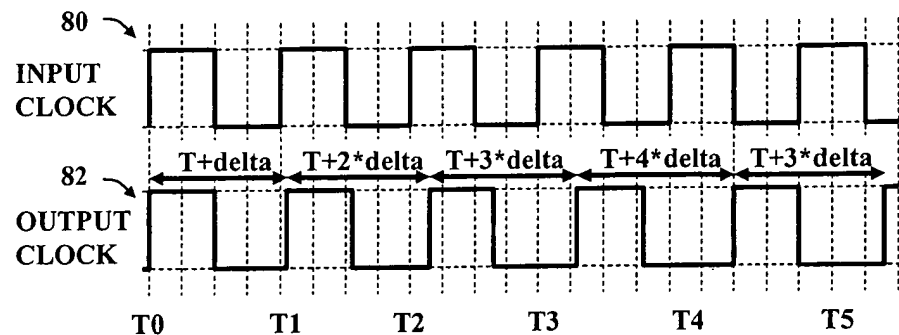


Fig. 4

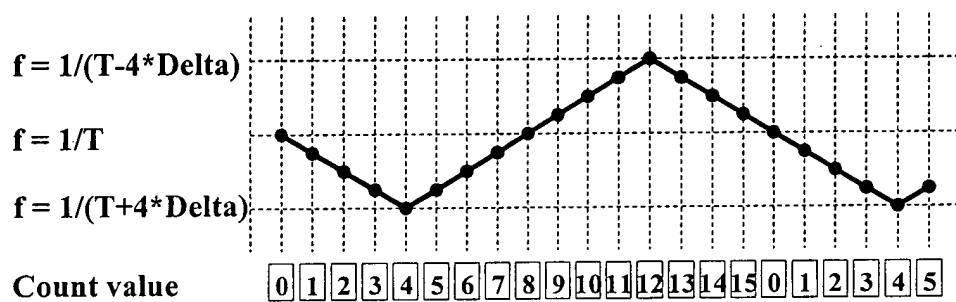


Fig. 5

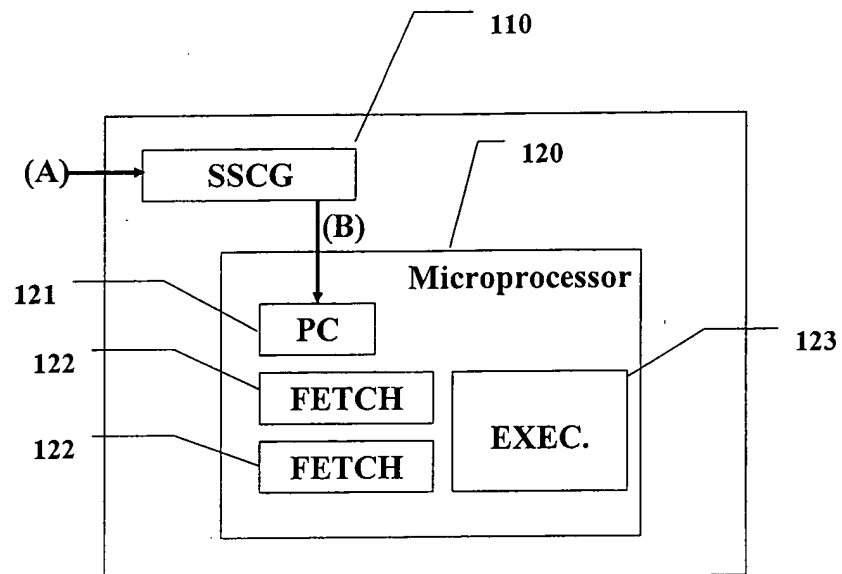


Fig. 6

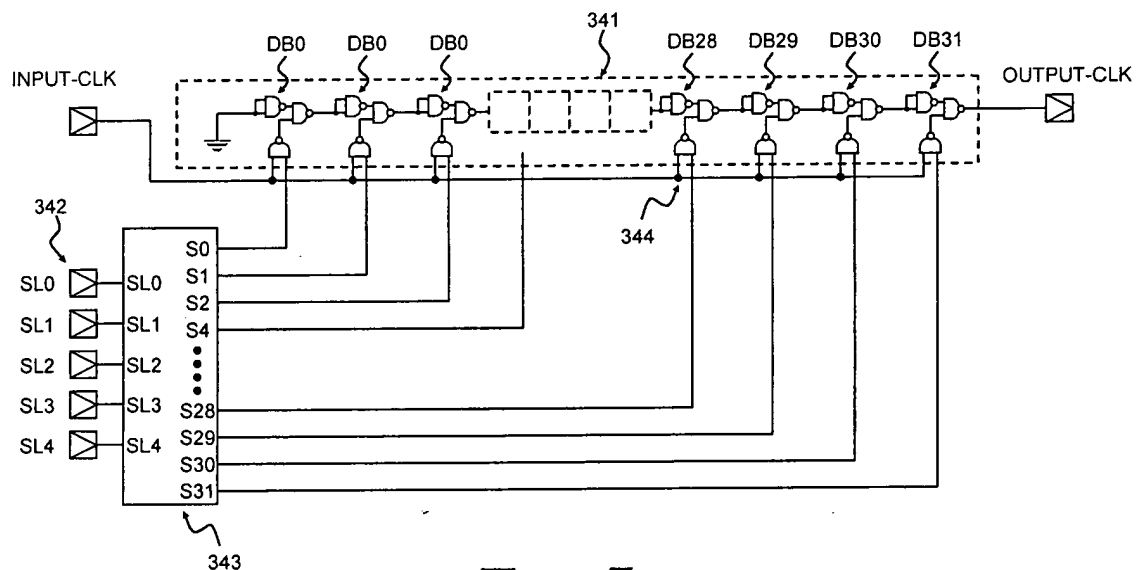


Fig. 7

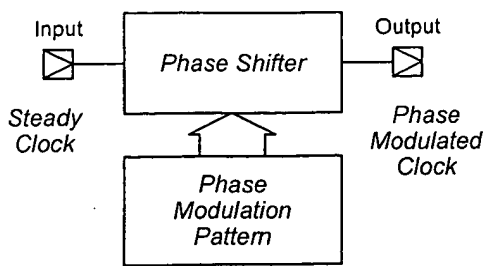


Fig. 8a
 Prior Art

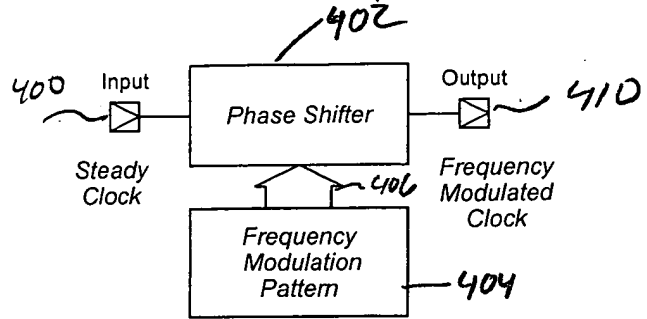


Fig. 8b

Index	Phase	Phase Shift	Frequency	Relative Frequency
a period	0	0	0	0 x Delta-F + F0
	1	1	1	1 x Delta-F + F0
	2	2	1	1 x Delta-F + F0
	3	3	1	1 x Delta-F + F0
	4	4	1	1 x Delta-F + F0
	5	5	1	1 x Delta-F + F0
	6	6	1	1 x Delta-F + F0
	7	7	1	1 x Delta-F + F0
	8	8	1	1 x Delta-F + F0
	9	9	1	1 x Delta-F + F0
	10	10	1	1 x Delta-F + F0
	11	11	1	1 x Delta-F + F0
	12	12	1	1 x Delta-F + F0
	13	13	1	1 x Delta-F + F0
	14	14	1	1 x Delta-F + F0
	15	15	1	1 x Delta-F + F0
	16	14	-1	-1 x Delta-F + F0
	17	13	-1	-1 x Delta-F + F0
	18	12	-1	-1 x Delta-F + F0
	19	11	-1	-1 x Delta-F + F0
	20	10	-1	-1 x Delta-F + F0
	21	9	-1	-1 x Delta-F + F0
	22	8	-1	-1 x Delta-F + F0
	23	7	-1	-1 x Delta-F + F0
	24	6	-1	-1 x Delta-F + F0
	25	5	-1	-1 x Delta-F + F0
	26	4	-1	-1 x Delta-F + F0
	27	3	-1	-1 x Delta-F + F0
	28	2	-1	-1 x Delta-F + F0
	29	1	-1	-1 x Delta-F + F0
	30	0	-1	-1 x Delta-F + F0
	31	1	1	1 x Delta-F + F0
	32	2	1	1 x Delta-F + F0

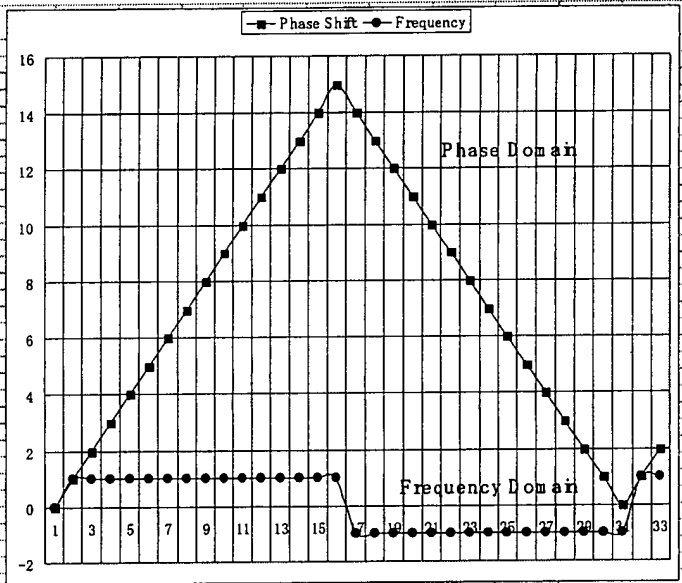


Fig. 9a

Fig. 9b

	Phase	Phase Shift	Frequency	Relative Frequency
a period	0	0	0	0 x Delta-F + F0
	1	1	1	1 x Delta-F + F0
	2	3	2	2 x Delta-F + F0
	3	6	3	3 x Delta-F + F0
	4	10	4	4 x Delta-F + F0
	5	15	5	5 x Delta-F + F0
	6	19	4	4 x Delta-F + F0
	7	22	3	3 x Delta-F + F0
	8	24	2	2 x Delta-F + F0
	9	25	1	1 x Delta-F + F0
	10	25	0	0 x Delta-F + F0
	11	24	-1	-1 x Delta-F + F0
	12	22	-2	-2 x Delta-F + F0
	13	19	-3	-3 x Delta-F + F0
	14	15	-4	-4 x Delta-F + F0
	15	10	-5	-5 x Delta-F + F0
	16	6	-4	-4 x Delta-F + F0
	17	3	-3	-3 x Delta-F + F0
	18	1	-2	-2 x Delta-F + F0
	19	0	-1	-1 x Delta-F + F0
	20	0	0	0 x Delta-F + F0
	21	1	1	1 x Delta-F + F0
	22	3	2	2 x Delta-F + F0
	23	6	3	3 x Delta-F + F0
	24	10	4	4 x Delta-F + F0
	25	15	5	5 x Delta-F + F0
	26	19	4	4 x Delta-F + F0
	27	22	3	3 x Delta-F + F0
	28	24	2	2 x Delta-F + F0
	29	25	1	1 x Delta-F + F0
	30	25	0	0 x Delta-F + F0
	31	24	-1	-1 x Delta-F + F0
	32	22	-2	-2 x Delta-F + F0

Fig. 10a

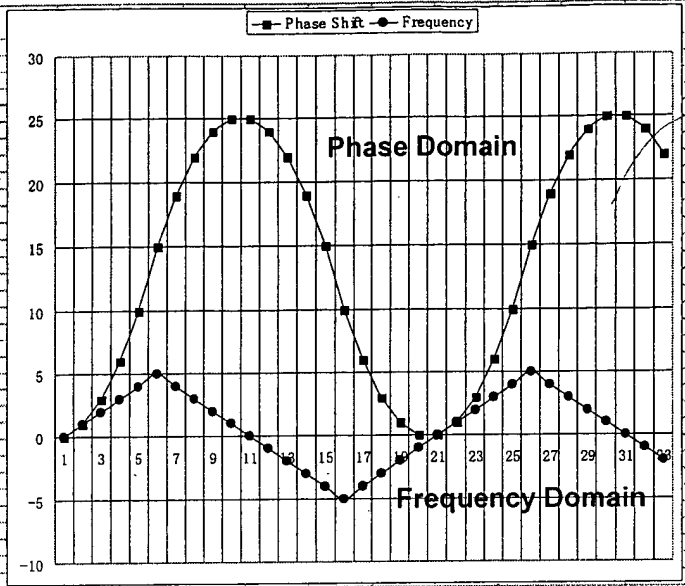


Fig. 10b

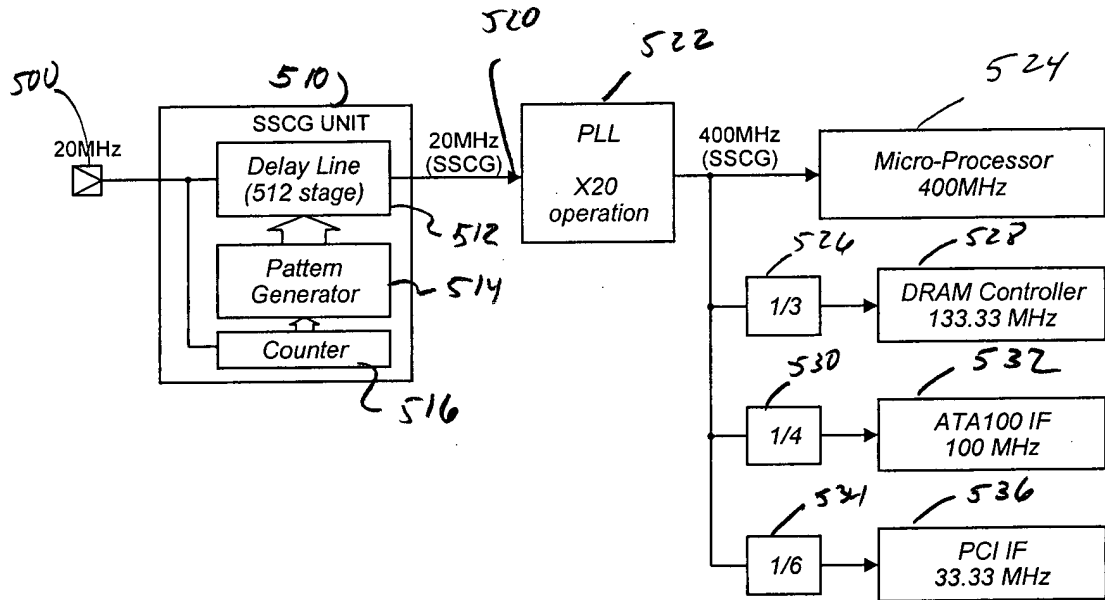


Fig. 11

STEP	VALUE																
0	0	64	66	128	260	192	448	256	508	320	444	384	252	448	62		
1	0	65	68	129	264	193	450	257	508	321	442	385	248	449	60		
2	0	66	70	130	268	194	452	258	508	322	440	386	244	450	58		
3	0	67	72	131	272	195	454	259	508	323	438	387	240	451	56		
4	0	68	74	132	276	196	456	260	508	324	436	388	236	452	54		
5	0	69	76	133	280	197	458	261	508	325	434	389	232	453	52		
6	0	70	78	134	284	198	460	262	508	326	432	390	228	454	50		
7	0	71	80	135	288	199	462	263	508	327	430	391	224	455	48		
8	0	72	82	136	291	200	463	264	508	328	428	392	220	456	46		
9	1	73	85	137	295	201	465	265	508	329	426	393	217	457	45		
10	1	74	87	138	298	202	466	266	507	330	423	394	213	458	43		
11	2	75	90	139	302	203	468	267	507	331	421	395	210	459	42		
12	2	76	92	140	305	204	469	268	506	332	418	396	206	460	40		
13	3	77	95	141	309	205	471	269	506	333	416	397	203	461	39		
14	3	78	97	142	312	206	472	270	505	334	413	398	199	462	37		
15	4	79	100	143	316	207	474	271	505	335	411	399	196	463	36		
16	4	80	102	144	319	208	475	272	504	336	408	400	192	464	34		
17	5	81	105	145	323	209	477	273	504	337	406	401	189	465	33		
18	5	82	107	146	326	210	478	274	503	338	403	402	185	466	31		
19	6	83	110	147	330	211	480	275	503	339	401	403	182	467	30		
20	6	84	112	148	333	212	481	276	502	340	398	404	178	468	28		
21	7	85	115	149	337	213	483	277	502	341	396	405	175	469	27		
22	7	86	117	150	340	214	484	278	501	342	393	406	171	470	25		
23	8	87	120	151	343	215	485	279	501	343	391	407	168	471	24		
24	9	88	123	152	346	216	486	280	500	344	388	408	165	472	23		
25	10	89	126	153	349	217	487	281	499	345	385	409	162	473	22		
26	11	90	129	154	352	218	488	282	498	346	382	410	159	474	21		
27	12	91	132	155	355	219	489	283	497	347	379	411	156	475	20		
28	13	92	135	156	358	220	490	284	496	348	376	412	153	476	19		
29	14	93	138	157	361	221	491	285	495	349	373	413	150	477	18		
30	15	94	141	158	364	222	492	286	494	350	370	414	147	478	17		
31	16	95	144	159	367	223	493	287	493	351	367	415	144	479	16		
32	17	96	147	160	370	224	494	288	492	352	364	416	141	480	15		
33	18	97	150	161	373	225	495	289	491	353	361	417	138	481	14		
34	19	98	153	162	376	226	496	290	490	354	358	418	135	482	13		
35	20	99	156	163	379	227	497	291	489	355	355	419	132	483	12		
36	21	100	159	164	382	228	498	292	488	356	352	420	129	484	11		
37	22	101	162	165	385	229	499	293	487	357	349	421	126	485	10		
38	23	102	165	166	388	230	500	294	486	358	346	422	123	486	9		
39	24	103	168	167	391	231	501	295	485	359	343	423	120	487	8		
40	25	104	171	168	393	232	501	296	484	360	340	424	117	488	7		
41	27	105	175	169	395	233	502	297	483	361	337	425	115	489	7		
42	28	106	178	170	398	234	502	298	481	362	333	426	112	490	6		
43	30	107	182	171	401	235	503	299	480	363	330	427	110	491	6		
44	31	108	185	172	403	236	503	300	478	364	326	428	107	492	5		
45	33	109	189	173	406	237	504	301	477	365	323	429	105	493	5		
46	34	110	192	174	408	238	504	302	475	366	319	430	102	494	4		
47	36	111	196	175	411	239	505	303	474	367	316	431	100	495	4		
48	37	112	199	176	413	240	505	304	472	368	312	432	97	496	3		
49	39	113	203	177	416	241	506	305	471	369	309	433	95	497	3		
50	40	114	206	178	418	242	506	306	469	370	305	434	92	498	2		
51	42	115	210	179	421	243	507	307	468	371	302	435	90	499	2		
52	43	116	213	180	423	244	507	308	466	372	298	436	87	500	1		
53	45	117	217	181	426	245	508	309	465	373	295	437	85	501	1		
54	46	118	220	182	428	246	508	310	463	374	291	438	82	502	0		
55	48	119	224	183	430	247	508	311	462	375	288	439	80	503	0		
56	50	120	228	184	432	248	508	312	460	376	284	440	78	504	0		
57	52	121	232	185	434	249	508	313	458	377	280	441	76	505	0		
58	54	122	236	186	436	250	508	314	456	378	276	442	74	506	0		
59	56	123	240	187	438	251	508	315	454	379	272	443	72	507	0		
60	58	124	244	188	440	252	508	316	452	380	268	444	70	508	0		
61	60	125	248	189	442	253	508	317	450	381	264	445	68	509	0		
62	62	126	252	190	444	254	508	318	448	382	260	446	66	510	0		
63	64	127	256	191	446	255	508	319	446	383	256	447	64	511	0		

Fig. 12

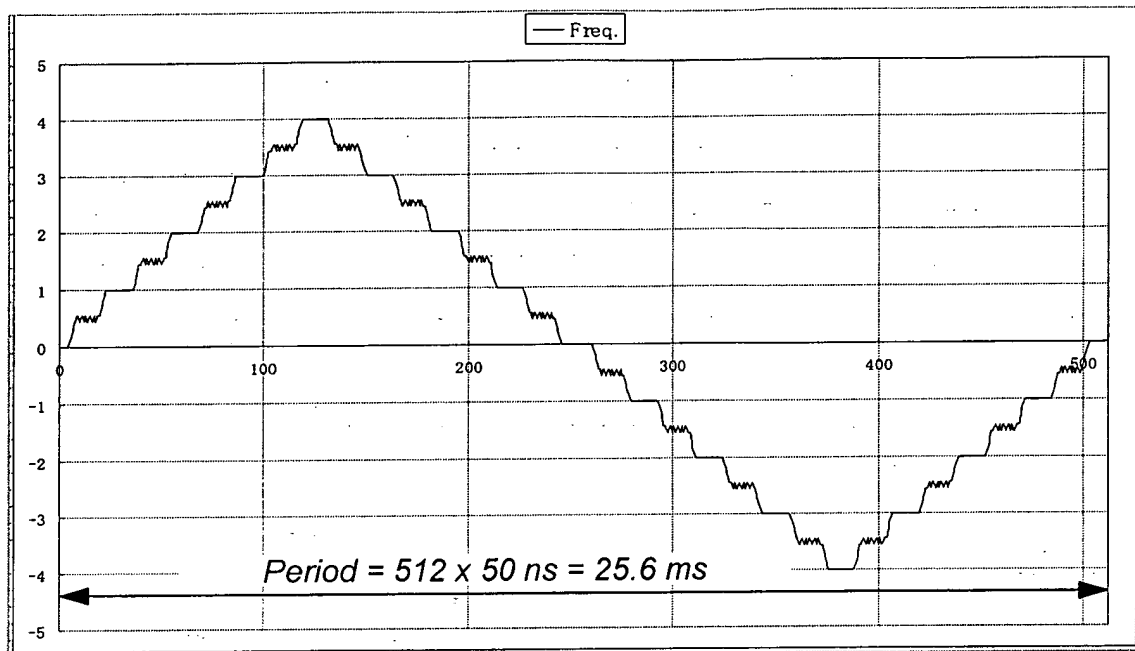


Fig. 13